

図 4.3-14 河川水位の観測所

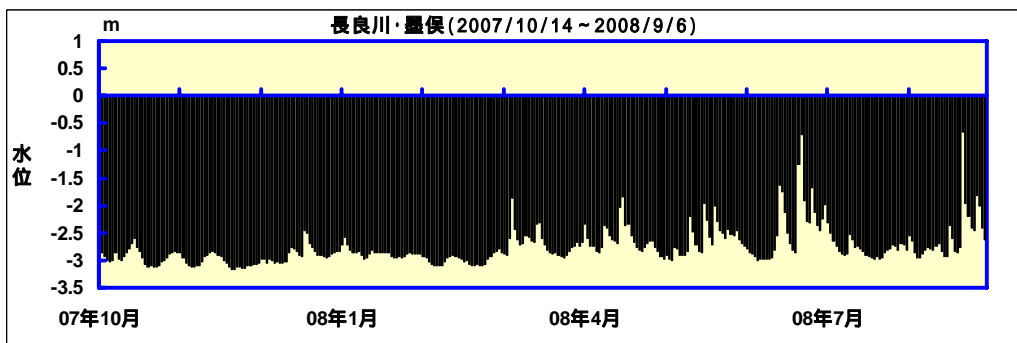
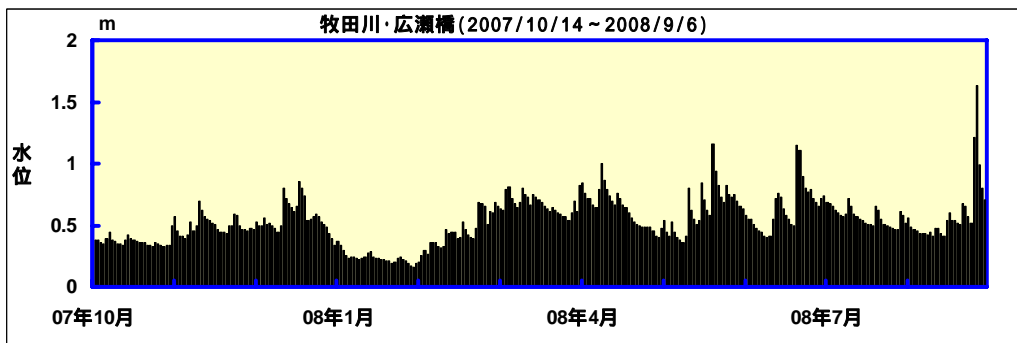
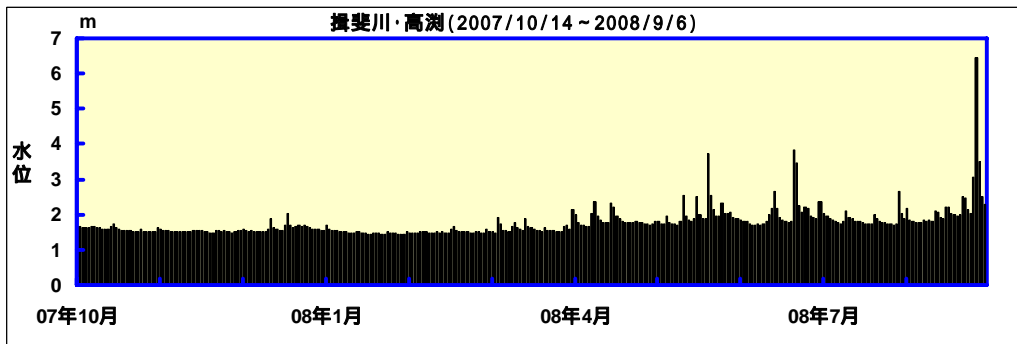
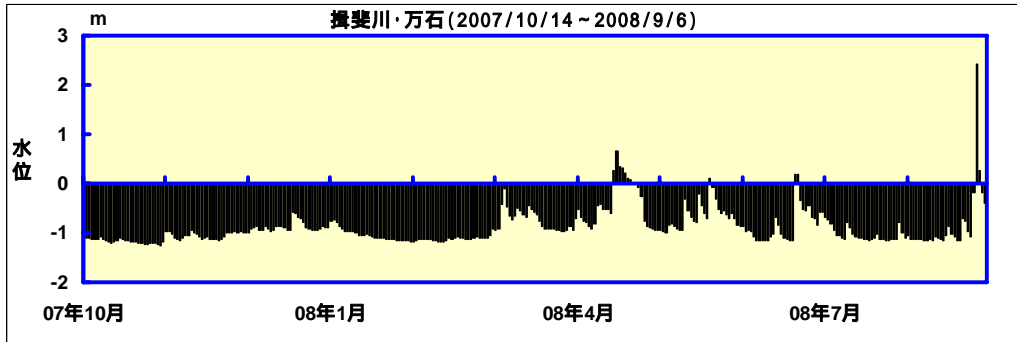
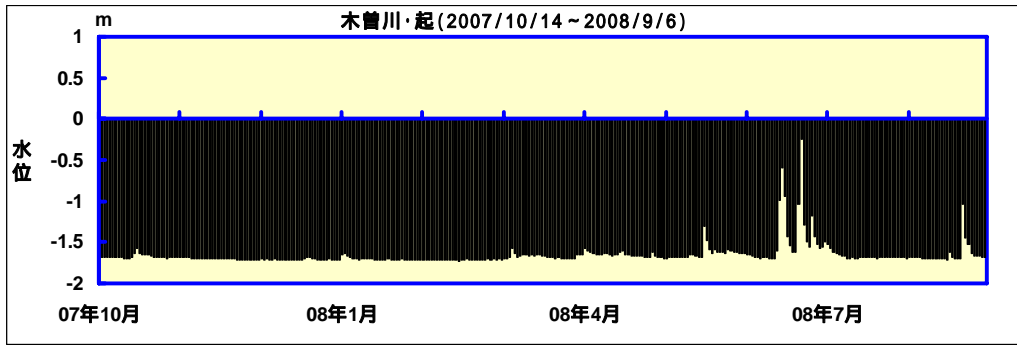


図 4.3-15(1) 水位の時系列 (クリーンアップ調査期間)

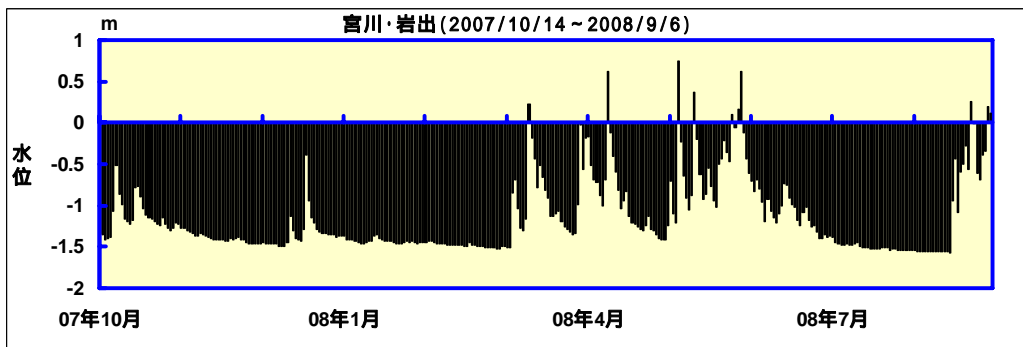
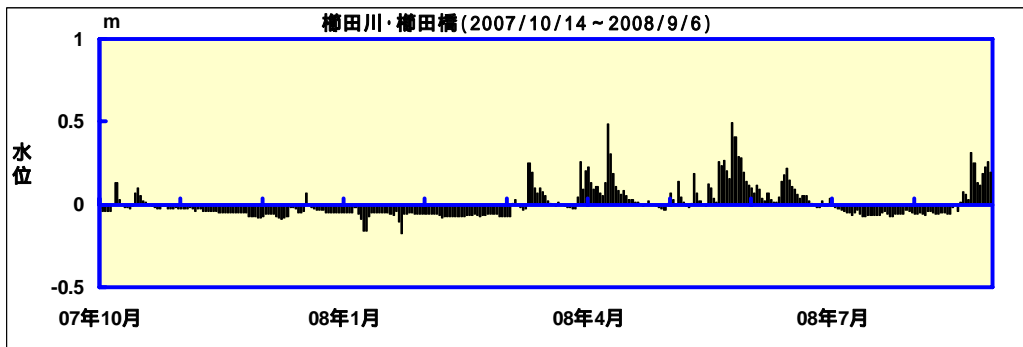
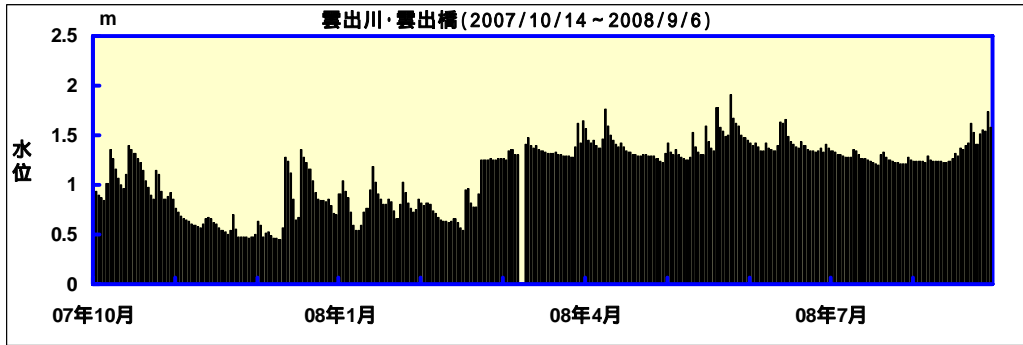
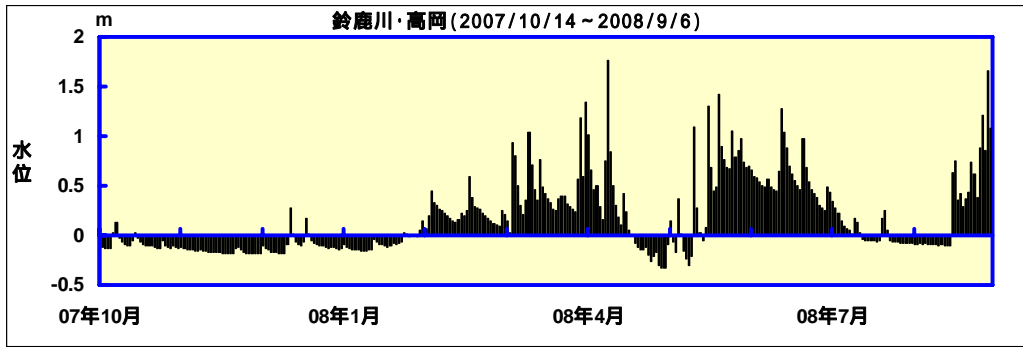


図 4.3-15(2) 水位の時系列 (クリーンアップ調査期間)

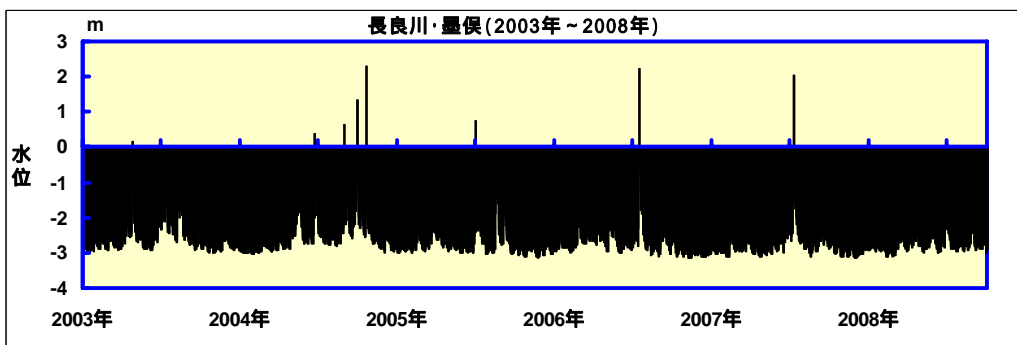
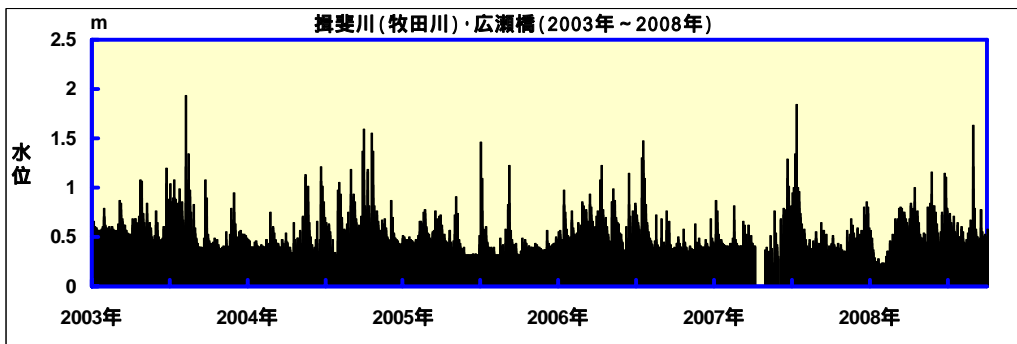
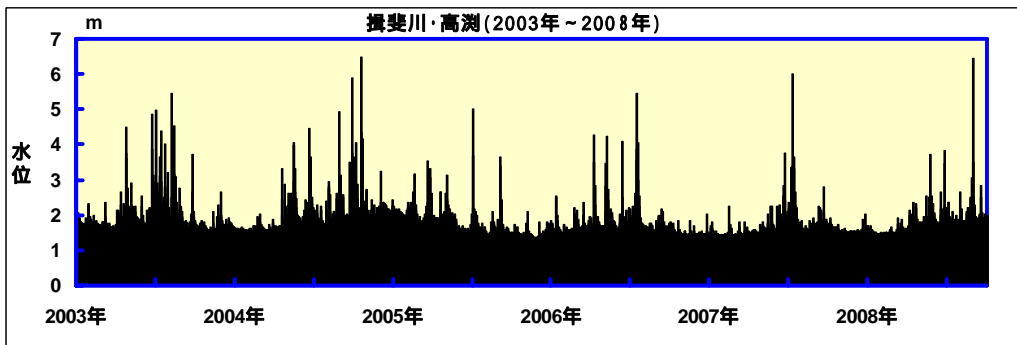
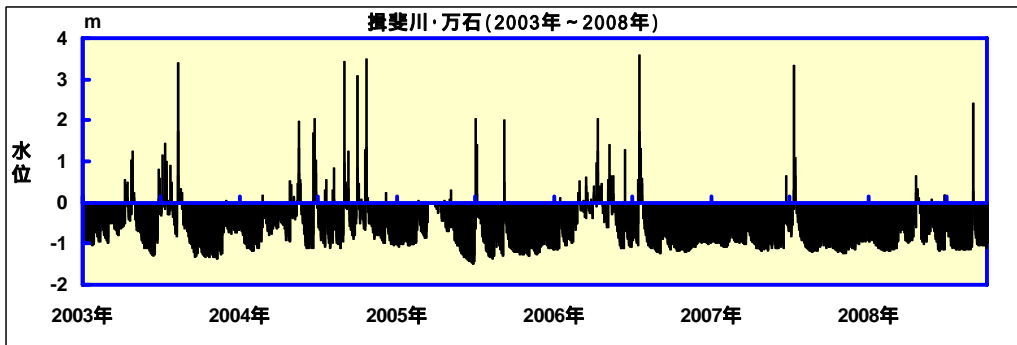
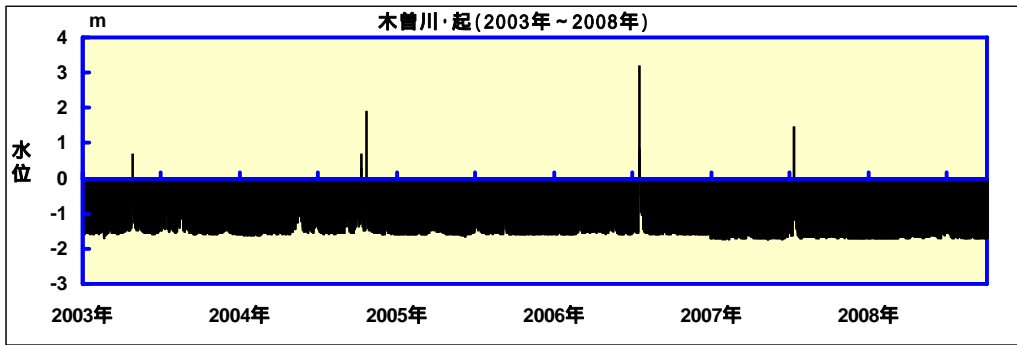


図 4.3-16(1) 5年間の水位の時間変動

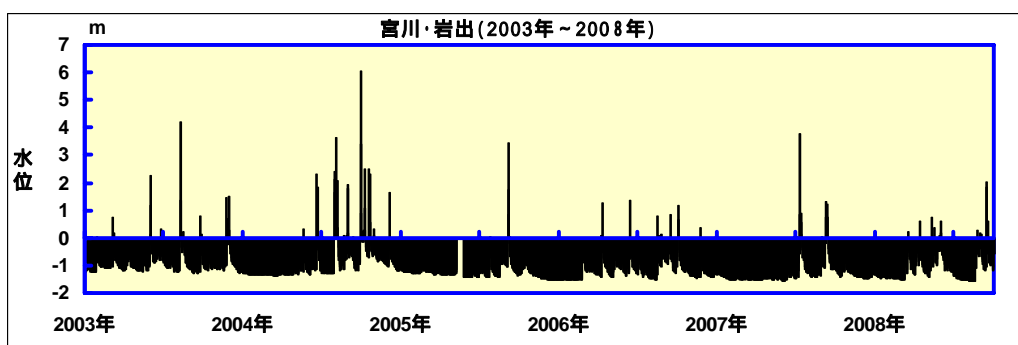
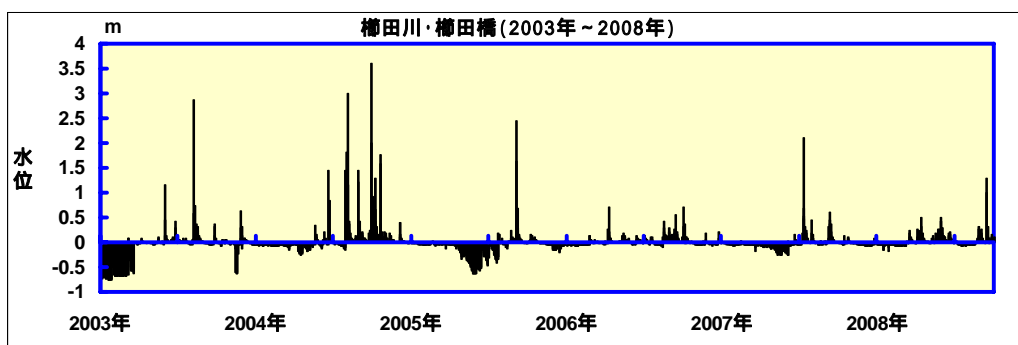
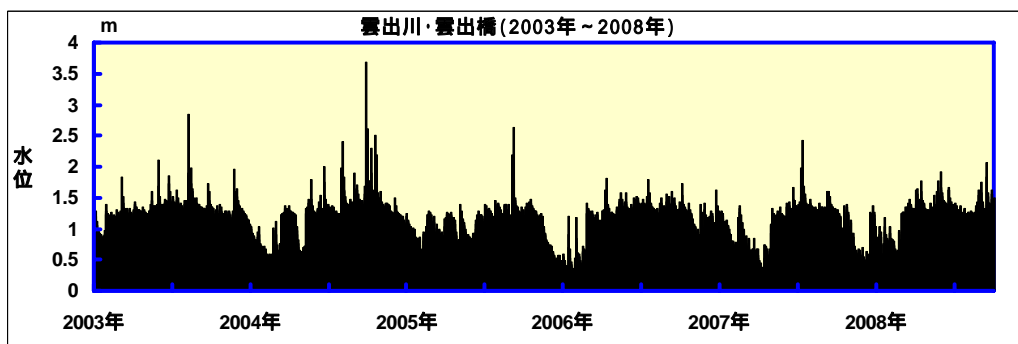
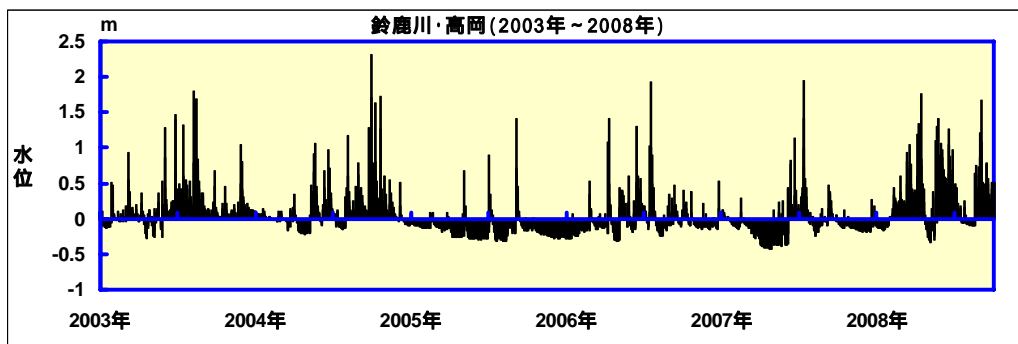


図 4.3-16(2) 5年間の水位の時間変動

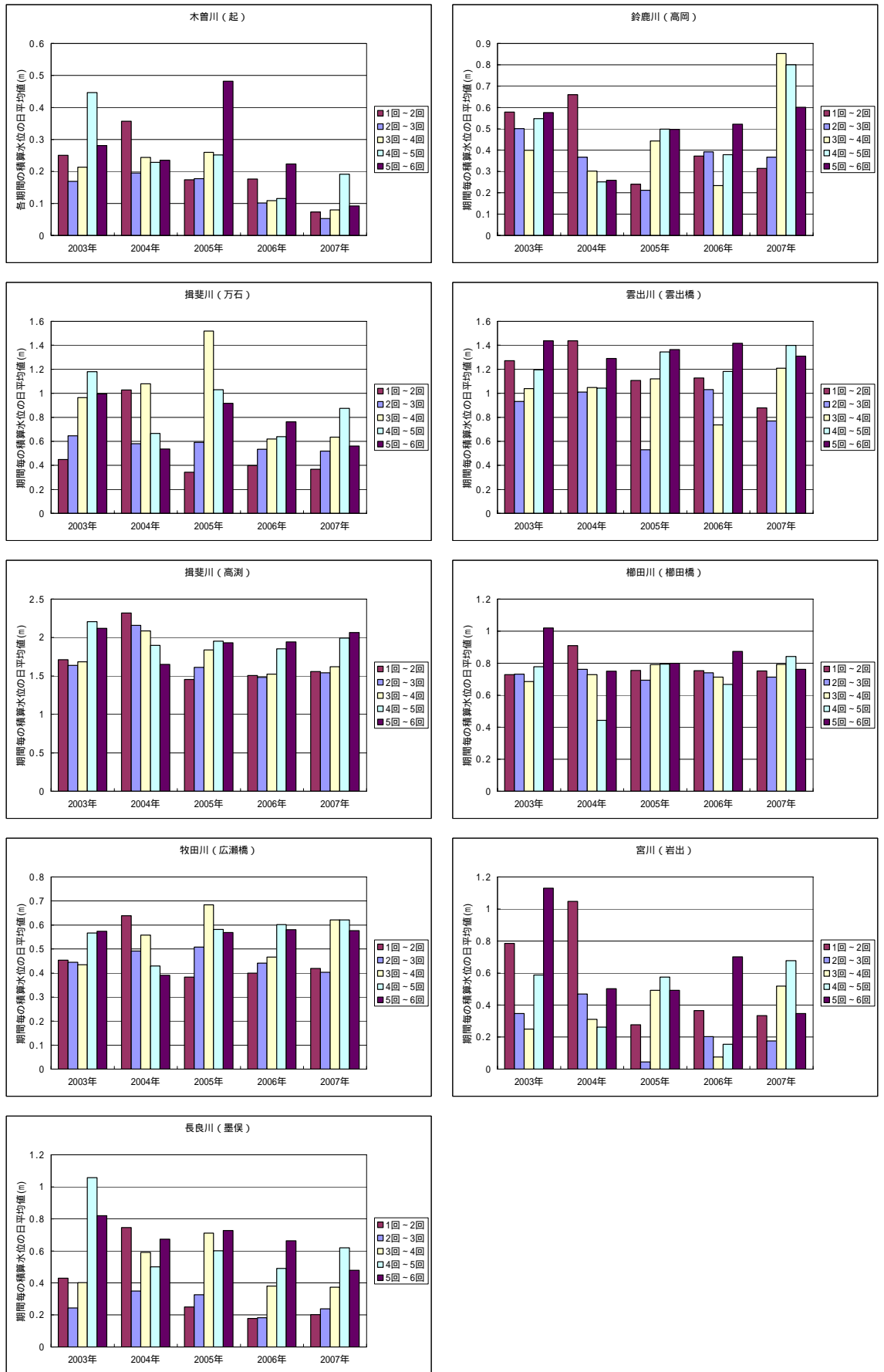


図 4.3-17 積算水位の時間変動

d. 黒潮の変動との関連性の検討

三重県答志島の奈佐の浜は、伊勢湾の湾口部に位置しており、また湾奥に面した海岸である。伊勢湾内に流入した太平洋の海水は、神島と渥美半島の間を通過し、三河湾前面から愛知県側を北上、湾奥から進路を西に転進し、三重県側を南下する流れが恒流とされている。このため、奈佐の浜にも太平洋から進入したゴミが漂着する可能性は全く無いとは言えない。

なお、図 4.3-19 に示した「日本近海の海流」によると、伊勢湾前面の黒潮流は、基本的に東進する流れである。ただし、黒潮流の流れる場所により（紀伊半島より南東方向に蛇行した場合）黒潮流に対して反流が形成される。この反流が形成される時期には、伊勢湾に流入する流れが強くなる可能性が考えられる。

ただし、本調査で実施した漂流ボトルによる追跡調査の結果が、平成 20 年 1 月 7 日に実施しており、図 4.3-19 の 1 月 9 日の状況を見ると、小さいが黒潮の反流が伊勢湾の南に形成されている。追跡調査の結果は、伊勢湾に漂流されたボトルは、湾奥からのものも含めて全てが湾口に向かう経路を示した。この調査を実施した時期は、北西の季節風が強く、恒常的に吹く時期である。このため、海表面の流れは風の影響を強く受けており、反流の流れよりも影響が大きかったものと考えられる。

以上から伊勢湾の一般的な流れは上述したとおりであるが、海表面の流れは、季節風や台風などの強い風の影響を受けることが考えられる。しかし、漂着ゴミと黒潮流との関連を考慮した場合、答志島の漂着ゴミをみる限り、その大部分は国内のものであり、湾外から流入したものではないと考えられる。

実際に図 4.3-18 に示した奈佐の浜の漂着ゴミの重量推移と黒潮の関係をみると、第 4 回目の調査時以外は、黒潮流の本流が、紀伊半島の先端より東方向に流れている。第 4 回目の調査時は、黒潮流と海岸の間に反流が形成されている。回収されたゴミの量は、第 3 回目と比較すると第 4 回目は約 4 倍程度に増加している。この増加が黒潮流の反流が湾内に流入することにより生じた現象か検討したが、ゴミの内訳として自然系（海藻）が多くを占めており、回収された海藻の種からしても、伊勢湾内の海藻が漂着したもの（太平洋の流れ藻ではないだろう）と考えられる。

以上のことから奈佐の浜に漂着ゴミと黒潮流の関連はほぼなく、伊勢湾流域のゴミが大部分を占めると推測された。

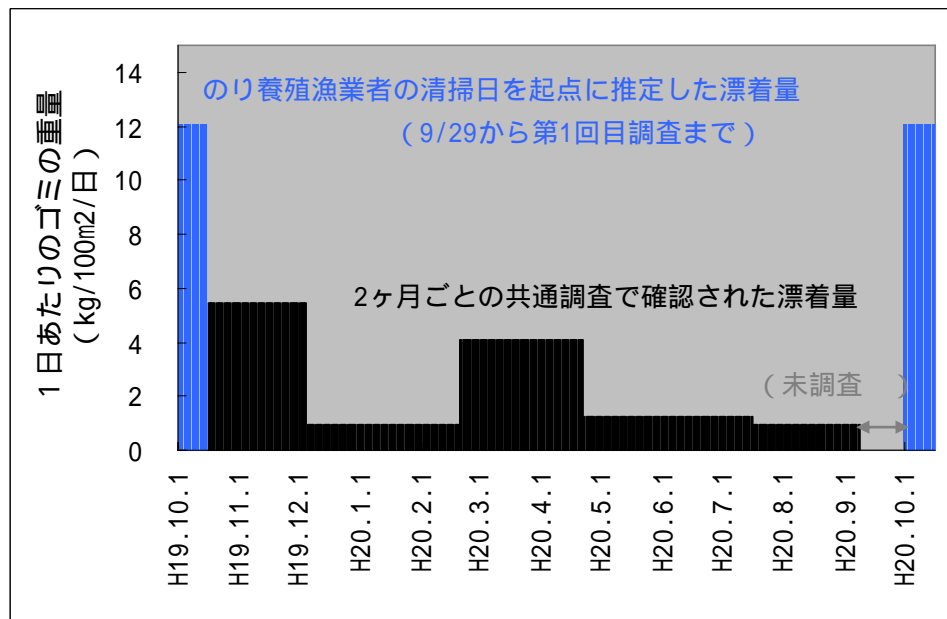
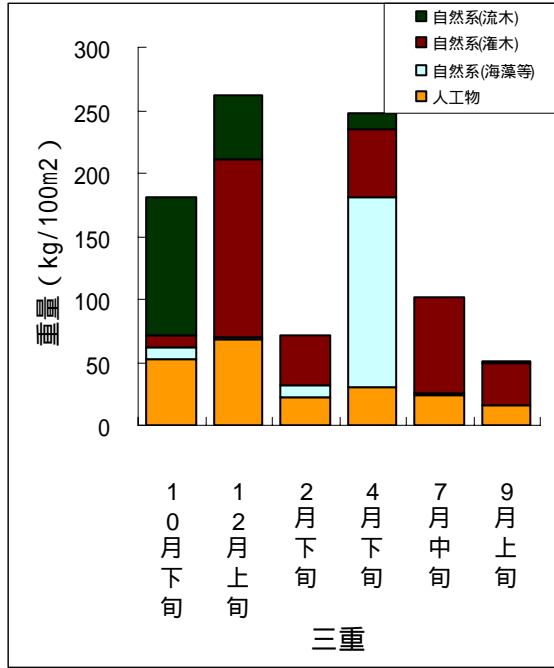
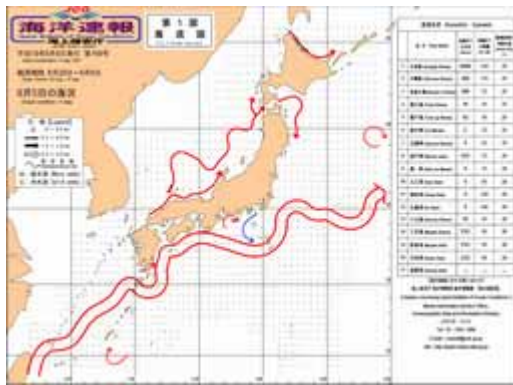
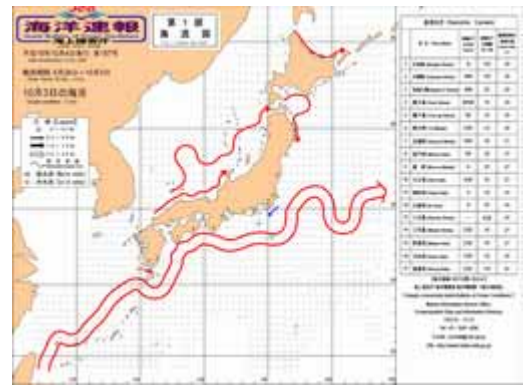


図 4.3-18 第1回～第6回までの共通調査における漂着ゴミの重量の推移



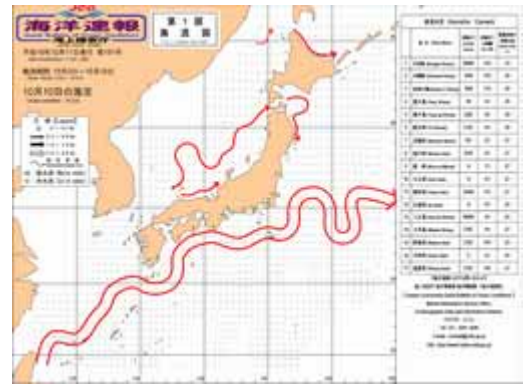
9月5日 ↓



10月3日 ↓



9月12日 ↓



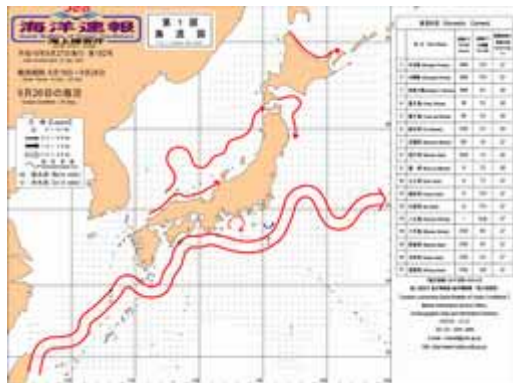
10月10日 ↓



9月19日 ↓



10月17日 ↓

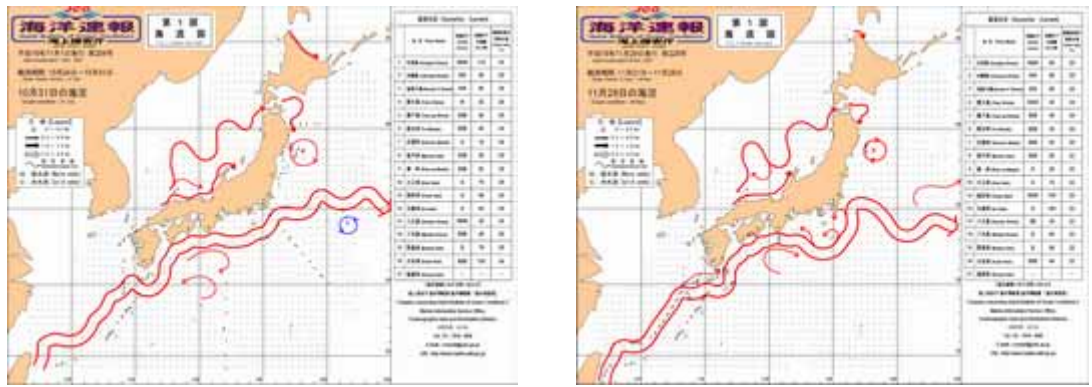


9月26日 ↓



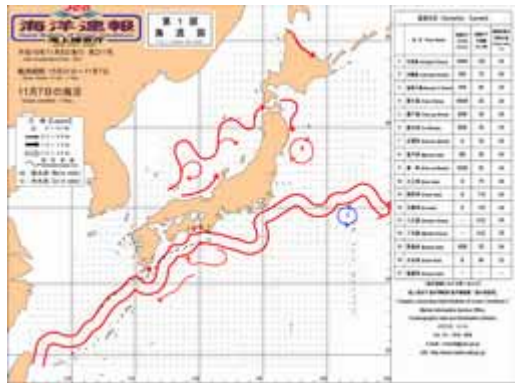
10月24日 ↓

図 4.3-19(1) 日本近海の海流の時間変動



10月31日 ↓

11月28日 ↓



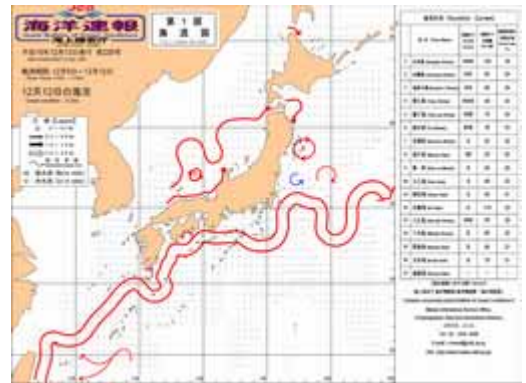
11月7日 ↓



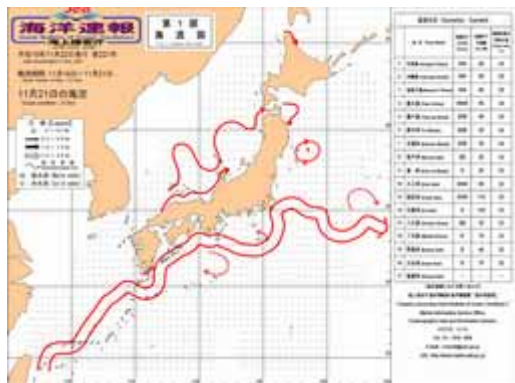
12月5日 ↓



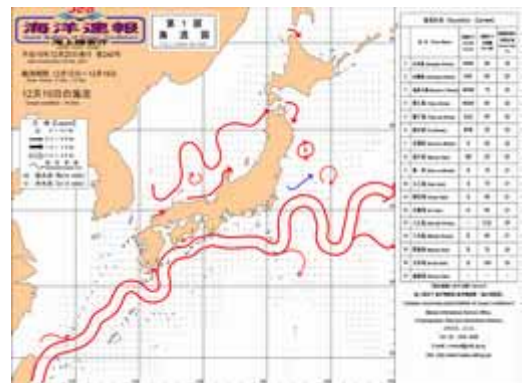
11月14日 ↓



12月12日 ↓

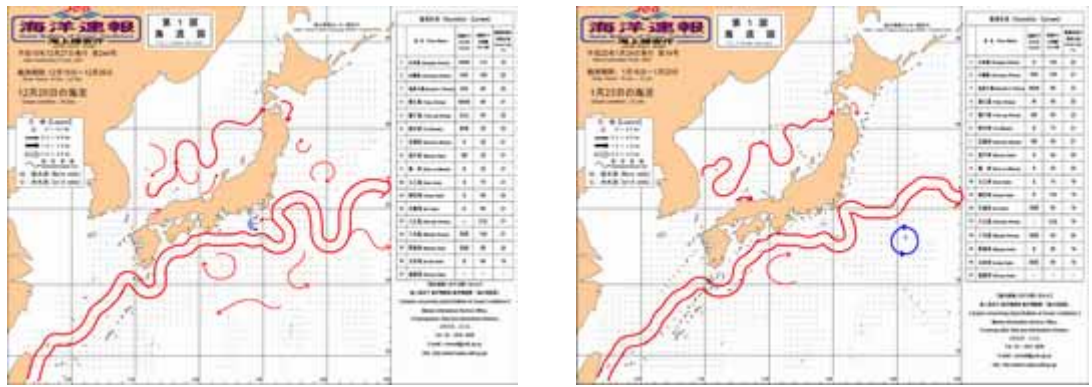


11月21日 ↓



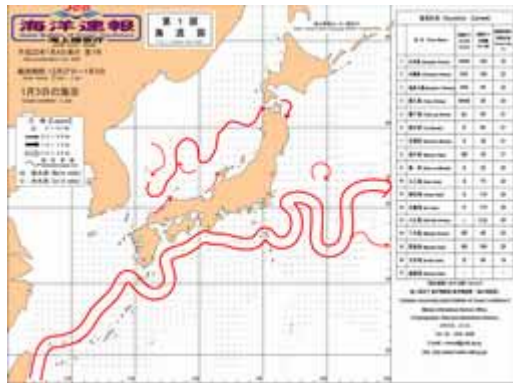
12月19日 ↓

図 4.3-19 (2) 日本近海の流れの時間変動

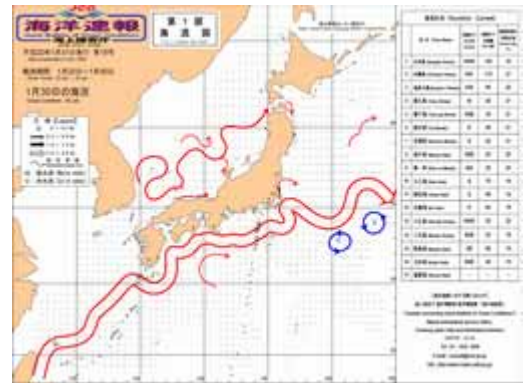


12月26日 ↓

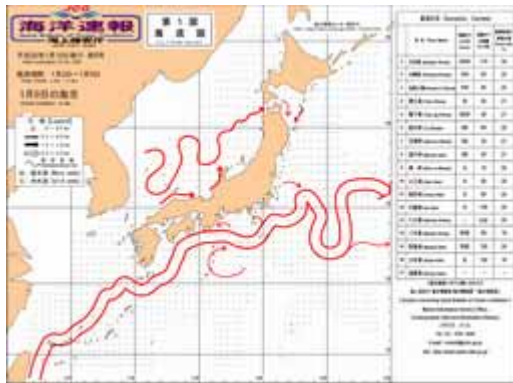
1月23日 ↓



1月3日 ↓



1月30日 ↓



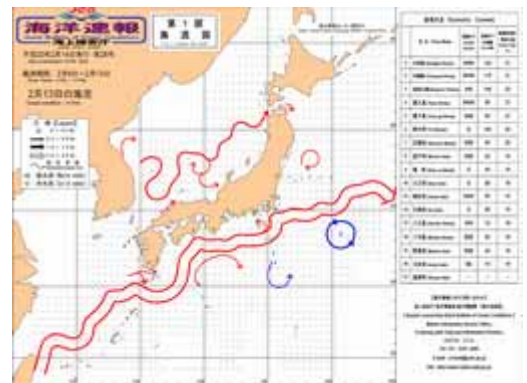
1月9日 ↓



2月6日 ↓



1月16日 ↓

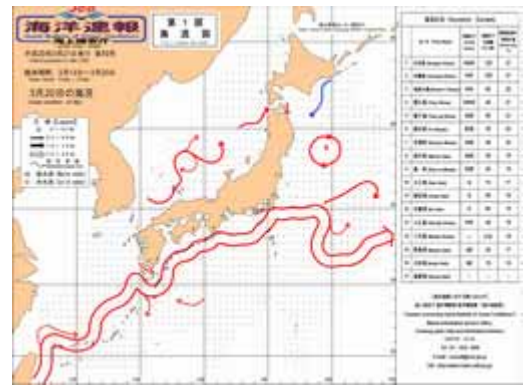


2月13日 ↓

図 4.3-19(3) 日本近海の流れの時間変動



2月20日 ↓



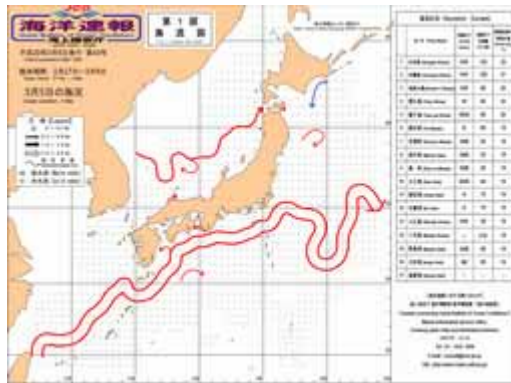
3月20日 ↓



2月27日 ↓



3月26日 ↓



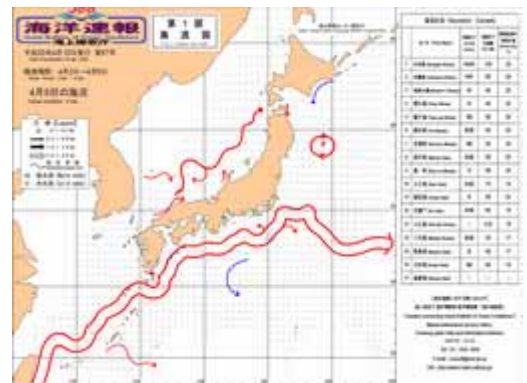
3月5日 ↓



4月2日 ↓

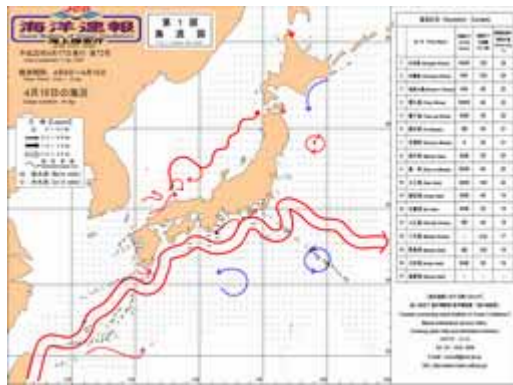


3月12日 ↓



4月9日 ↓

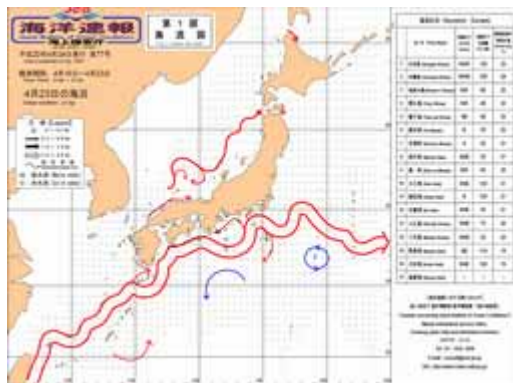
図 4.3-19(4) 日本近海の流れの時間変動



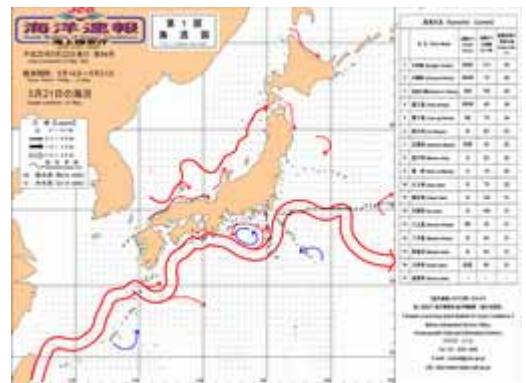
4月16日 ↓



5月14日 ↓



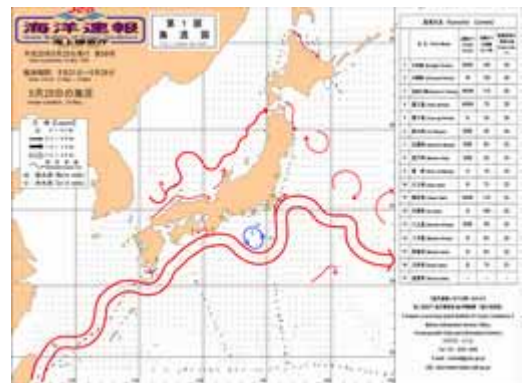
4月23日 ↓



5月21日 ↓



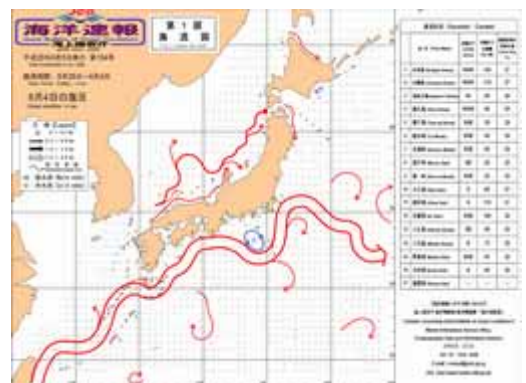
4月30日 ↓



5月28日 ↓



5月7日 ↓



6月4日 ↓

図 4.3-19(5) 日本近海の流れの時間変動